

Eingabe: Farbmimetrisches Fernseh-Licht-System TLS70

für Buntton $h^* = lab^*h = 22/360 = 0.061$
 lab^*tch und lab^*nch

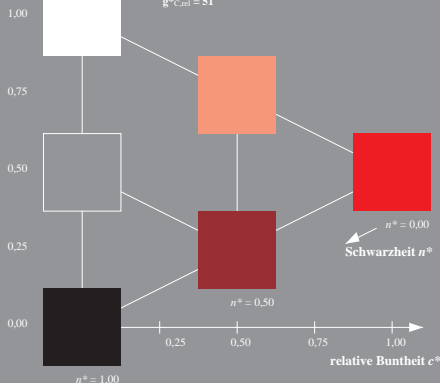
D65: Buntton O
LCH*Ma: 76 28 22
oly*Ma: 1.0 0.0 0.0

Dreiecks-Helligkeit t^*



%Umfang
 $u^*_{rel} = 16$
%Regularität
 $g^*_{H,rel} = 34$
 $g^*_{C,rel} = 51$

TLS70; adaptierte CIELAB-Daten					
$L^* = L^*_a$	a^*_a	b^*_a	$C^*_{ab,a}$	$h^*_{ab,a}$	
O _{Ma} 76.43	26.27	10.57	28.32	22	
Y _{Ma} 93.93	-10.76	34.63	36.27	107	
L _{Ma} 89.32	-35.8	27.64	45.24	142	
C _{Ma} 90.93	-21.95	-7.07	23.07	198	
V _{Ma} 72.1	15.76	-35.63	38.97	294	
M _{Ma} 78.5	37.52	-25.23	45.22	326	
N _{Ma} 69.7	0.0	0.0	0.0	0	
W _{Ma} 95.41	0.0	0.0	0.0	0	
R _{CIE} 39.92	58.74	27.99	65.07	25	
J _{CIE} 81.26	-2.88	71.56	71.62	92	
G _{CIE} 52.23	-42.41	13.6	44.55	162	
B _{CIE} 30.57	1.41	-46.46	46.49	272	

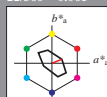


Ausgabe: Farbmimetrisches Fernseh-Licht-System TLS70

für Buntton $h^* = lab^*h = 22/360 = 0.061$
 lab^*tch und lab^*nch

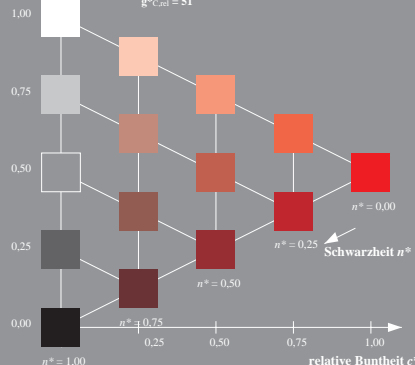
D65: Buntton O
LCH*Ma: 76 28 22
oly*Ma: 1.0 0.0 0.0

Dreiecks-Helligkeit t^*



%Umfang
 $u^*_{rel} = 16$
%Regularität
 $g^*_{H,rel} = 34$
 $g^*_{C,rel} = 51$

TLS70; adaptierte CIELAB-Daten					
$L^* = L^*_a$	a^*_a	b^*_a	$C^*_{ab,a}$	$h^*_{ab,a}$	
O _{Ma} 76.43	26.27	10.57	28.32	22	
Y _{Ma} 93.93	-10.76	34.63	36.27	107	
L _{Ma} 89.32	-35.8	27.64	45.24	142	
C _{Ma} 90.93	-21.95	-7.07	23.07	198	
V _{Ma} 72.1	15.76	-35.63	38.97	294	
M _{Ma} 78.5	37.52	-25.23	45.22	326	
N _{Ma} 69.7	0.0	0.0	0.0	0	
W _{Ma} 95.41	0.0	0.0	0.0	0	
R _{CIE} 39.92	58.74	27.99	65.07	25	
J _{CIE} 81.26	-2.88	71.56	71.62	92	
G _{CIE} 52.23	-42.41	13.6	44.55	162	
B _{CIE} 30.57	1.41	-46.46	46.49	272	



OG69-7, 3stufige Reihen für konstanten CIELAB Buntton 22/360 = 0.061 (links)

5stufige Reihen für konstanten CIELAB Buntton 22/360 = 0.061 (rechts)

BAM-Prüfvorlage OG69; Farbmimetrik-Systeme TLS70 & TLS70 input: *cmY0* setmykcolor*
D65: 3 und 5stufige Farbreihen für 10 Bunttöne

output: *cmY0* / 000n* setmykcolor*